

الفصل الخامس

تطبيقات نموذج أبعاد البعد

Applications of One Dimensional Models

بعض المفاهيم والتي قد تناولت في الفصلين السابقين، يمكن المساعدة بها كنموذج بسيط للأنظمة الجزيئية الحقيقية لبعض البراهين. والتقريبات قد تكون في بعض الأحيان غير صريحة ولكن هي تشترط بعض (أو تحتاج بعض التامل)، ففي الشكل البسيط جداً لأقرب الطرق في مفهوم ميكانيكا الكم يمكن أن يعطى مفهوم للسلوك الجزيئي.

Conjugated systems

الأنظمة المقابلة (التزاوجية أو التبادلية)

بالنسبة للجزيئات ذات الأنظمة التزاوجية للرابطة الثنائية (مثل المركبات عديدة الرابطة الثنائية (polyenes) مع ذرات الكربون ذات العدد الزوجي)، فمن المعروف مستوى الإمتصاص في الطيف الإلكتروني يلجأ إلى الطول الموجي الطويل مع زيادة عدد ذرات الكربون. ففي الحقيقة، الأنظمة الطويلة السلسلة غالباً ما تكون ملونة مبينة على أن مستوى الإمتصاص في المنطقة المرئية للطيف. والحسابات التقريبية لطول الموجه الأطول، والتي يكون حدوثها عند أعلى إمتصاص ويمكن عملها باستخدام نموذج من صندوق أحادي المحور أو البعد بالنسبة لثنائي الإلكترون (π) في الأنظمة التزاوجية.

وفي سداسي ثلاثي الرابطة الثنائية (هكساترايين) (hexatriene) كمثال. حيث يوجد ستة (π) إلكترون. على إعتبار روابط (π) تكون مزالة تماماً، والإلكترونات تعتبر حرة وتتحرك على طول الجزيء. هذا الوضع متشابه تماماً للجسيم في أحد محاور الصندوق، حيث يكون الجسيم محدد له طريق في محور واحد من خلال نهايات محددة. فبالنسبة للإلكترونات (π) في المركب المذكور آنفاً (أو أى مركب آخر شبيهه) فإن طول الصندوق ليس من السهل تعيينه. ومن الطبيعي نفترض أن الإلكترونات الثنائية (π) تكون حرة للتحرك حول نصف طول الرابطة فوق نهاية كل ذرة كربون، وأن طول الجزيء قد يقاس مباشرة بين نهايتي ذرات الكربون مفضلاً ذلك عن المركبات ذات الخط المتعرج (أو الملتوية) لكل أشكال الحالات

الأخرى. فمع تلك الافتراضات، وإهمال التنافر الحادث بين الإلكترونات الثنائية، بأطول طول موجي عند أكثر إمتصاص في الطيف الذري يمكن حسابه (هذا الطول الموجي) حيث يقابله من ناحية أخرى دخول لطاقة إمتصاص في تاسيس الإلكترون (π) من أعلى مستوى مملوء إلى أقل مستوى غير مملوء.

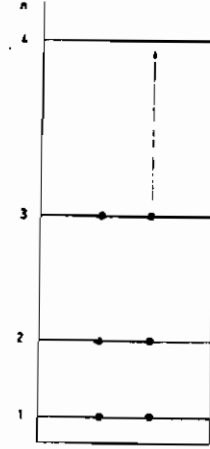


Fig. (1): Box model for hexatriene

وكل مستوى طاقة يلامه إثنين من الإلكترونات (لمختلفى الدوران المغزلى)، ولهذا فالمستويات الثلاثة الأقل، وهى $n=1$ ، وحتى $n=3$ ، للصندوق كما هو مبين فى الشكل (1) الطول الموجي الأطول للإمتصاص سوف يقابله إلى إنشاء إلكترون (π) من المستوى حيث $n=3$ إلى المستوى $n=4$. والطاقات للمستويات المختلفة للصندوق أحادى البعد، والتي قد تعين بواسطة المعادلة (7) فى الفصل الثالث، التي يمكن أن تكتب كما يلي :-

$$E_n = \frac{n^2 h^2}{8m a^2} \quad - 1$$

والطاقة اللازمة لإنشاء إلكترون (π) من مستوى $n=3$ إلى المستوى $n=4$ يساوى الفرق فى الطاقة ΔE الكائنة بين المستويين. إذا :

$$\Delta E = \frac{16 h^2}{8m a^2} - \frac{9 h^2}{8m a^2} = \frac{7 h^2}{8m a^2} \quad - 5$$

التردد (γ) لمستوى الإمتصاص له علاقة (بفرق الطاقة) (ΔE) بواسطة المعادلة (2) في الفصل الأول وهي :-

$$\gamma = \Delta E / h$$

بينما من المعادلة (2) والتعويض :

$$\gamma = \frac{7h}{8m a^2} \quad -3$$

وطول الموجه (λ) للإمتصاص أيضاً متعلق بالتردد بواسطة المعادلة (3) في الفصل الأول :-

$$\lambda = C/\gamma \quad -4$$

حيث أن (C) سرعة الضوء. وبالإستبدال من المعادلة (3) إلى المعادلة (4)

$$\lambda = \frac{8m a^2}{7h} \quad -5$$

وعليه بالنسبة للمركب الذى نحن بصدده فى هذا الفصل، حيث المسافة بين الإلكترونات (π) والتي تكون حرة للتحرك كما هو محسوب هي 0.72nm ، ولهذا فمن المعادلة 5. فإن $a=0.72$ أو $a=7.2 \times 10^{-10}$. والكتلة الداخلة هي الكتلة للإلكترونات وهذه مع الكميات الأخرى فى المعادلة (5) وتعين بواسطة: المعطومات الآتية

$$m = 9.1 \times 10^{-31} \text{ kg}, C=3.0 \times 10^8 \text{ m s}^{-1}, h=6.63 \times 10^{-34} \text{ j.s}$$

بوضع هذه البيانات على أساس الوحدات القياسية العالمية SI units (متر، كيلوجرام، جول، ثانية) وبالإستبدال فى المعادلة (5)

$$\lambda = \frac{8 \times 9.1 \times 10^{-31} (7.2)^2 \times 10^{-20} \times 3 \times 10^8}{7 \times 6.63 \times 10^{-34}} \text{ m}$$

$$= 2.44 \times 10^{-7} \text{ m} = 244 \text{ nm}$$

عملياً، مستوى الإمتصاص الملحوظ والخاصة بمركب hexatriene يكون مركز 268nm، ولهذا فى المنظر البسيط للنموذج المطابقة بين القيم المحسوبة والمرنية تعتبر جيدة.

السبب فى هذا الإنحراف إلى الطول الموجى الأطول للإمتصاص بناءً على عدد زيادة الروابط الثنائية مثلما هو مبين من المعادلة (5)، وكلما كان طول الجزيء يزداد. فإن قيم λ وكذلك λ تزداد.

الطاقة الاهتزازية لجزء ثنائي الذرية:

The vibrational energy of diatomic molecule:

عندما يهتز جزىء ثنائي الذرية بطاقة جهد معينة (الوضع) فى تلك الحالة يعتمد الاهتزاز على وضع الذرات وعلاقتها مع الذرة الأخرى، وعليه فإن طاقة الوضع تعتبر متعلقة بطول الرابطة، والعلاقة الآتية لمنحنى مورس كما هو مبين بالشكل (2) (Morse curve).

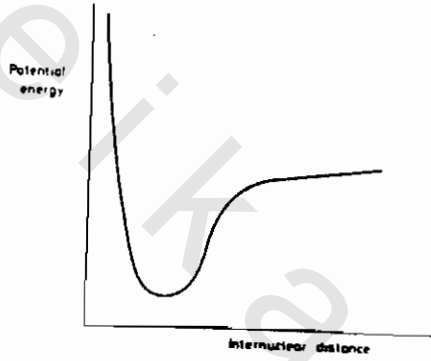


Fig. (2): Morse curve for a diatomic molecule

تقاوم الروابط الكيميائية بشدة للضغوط كما هو مبين للمواد الصلبة الغير قابلة للابضغاط، كما أن طاقة الوضع ترتفع بشدة وأن المسافة الفعلية للتفاعل الداخلى تقل. وكلما تزداد المسافة للتفاعل الداخلى فإن الرابطة الكيميائية فى آخر الأمر تتكسر، بمعنى أن الجزيئات تستفكك وطاقة الوضع توول إلى قيمة ثابتة ثم بعد ذلك تعطى ذرات منفصلة.

ودالة الجهد لمورس للشكل (2)، يمكن أن تكون مقربة لدالة جهد بسيطة مثل ما هو موضح فى الشكل (3)، حيث أن طاقة الوضع تأخذ قيمة ثابتة صفر بين $x=0$ ، $x=a$. فعند القيم السالبة للحد (x) تكون طاقة الوضع ما لانهاية، وعند القيم للحد $x>a$ ، فإن طاقة الوضع تأخذ قيمة جهد نهائية للجهد (U). وبالتالي يوجد منطقتين، واحدة حيث طاقة الوضع بصفر والأخرى حيث طاقة الجهد تكون محددة (نهائية). ولنرمز لدوال الموجه لتلك المنطقتين بالرموز ψ_1 ، ψ_2 على التوالي، إذا :-

$$\psi_1 = C_1 e^{ik_1x} + D_1 e^{-ik_1x} \quad -6$$

$$\text{حيث} \quad k_1 = 2\pi (2mE)^{1/2} \quad -7$$

بكتابة الشقوق الأسية كدوال مثلثية :-

$$\psi_1 = C_1 (\cos k_1x + i \sin k_1x) + D_1 (\cos k_1x - i \sin k_1x)$$

من حيث

$$\psi_1 = i(C_1 - D_1) \sin k_1 x + (C_1 + D_1) \cos k_1 x \quad - 8$$

لان طاقة الوضع ترتفع الى ما لا نهاية عند $x=0$ ، ودالة الموجه يجب أن تكون بصفر عند هذه النقطة. اذا عند $x=0$ ، $\psi_1=0$. وبإستبدال تلك القيم في المعادلة (8) ستؤدي الى استنتاج وهو ان $(C_1+D_1) = 0$ ثم نسوى هذا الإستبدال وهو $D_1=-C_1$ في المعادلة (5) لتعطى :-

$$\psi_1 = 2 iC \sin k_1 x \quad - 9$$

ودالة الموجه ψ_1 يمكن أن تكتب :-

$$\psi_2 = C_2 e^{-ik_2 x} + D_2 e^{-ik_2 x} \quad - 10$$

$$\text{حيث } k_2 = 2\pi [2m(E-U)]^{1/2}/h \quad - 11$$

Fig. (3): Potential well approximation to a Morse curve

في هذه الحالة (k_2) ربما تكون قيمة حقيقية أو تخيلية، معتمدة على ما إذا كانت $E > U$ او $E < U$ على التوالي :-

ولنتعبر الحالة الأولى حيث $E < U$. تحت تلك الظروف (k_2) سوف تعتبر كمية تخيلية

ونكن (ik_2) تكون كمية حقيقية. وبوضع $ik_2 = k_2'$ ، حيث:

$$k_2' = 2\pi [2m(U-E)]^{1/2}/h \quad - 12$$

والمعادلة (10) يمكن ان تكتب على تلك الصورة :

$$\psi_2 = C_2 e^{k_2' x} + D_2 e^{-k_2' x} \quad - 13$$

ومع اعتبار كل شق في المعادلة (13)، فإننا سوف نرى أنه مثلما

$$x \rightarrow \infty, C_2 e^{k_2' x} \rightarrow \infty \text{ and } D_2 e^{-k_2' x} \rightarrow 0$$

فالدالة الذاتية (يجب أن تكون محددة لأي قيمة للحد x ، إذا بالنسبة ψ_2 لكي

تمتثل لهذه الظروف. C_2 يجب أن تكون بصفر، وبمعنى آخر ψ_2 يمكن أن تكون ما لا نهاية

عند x بصفر. وبالنسبة $E < U$ بعد ذلك ψ_2 تعطى بواسطة العلاقة :

$$\psi_2 = D_2 e^{-k_2' x} \quad - 14$$

فعد $\psi_1 = \psi_2$ ، $x=a$ ، وبتطبيق هذه الظروف للمعادلة (9) والمعادلة (14). نجد أن:

$$2 i C_1 \sin k_1 a = D_2 k'_2 e^{-k'_2 a} \quad - 15$$

علاوة على ذلك عن $x=a$ ، حيث تلك الظروف تؤدي إلى

$$2 i C_1 k_1 \cos k_1 a = - D_2 k'_2 e^{-k'_2 a} \quad - 16$$

وبقسمة المعادلة (15) بالمعادلة (16):

$$\frac{1}{k_1} \tan k_1 a = - \frac{1}{k'_2}$$

$$\text{أو} \quad \tan k_1 a = \frac{k_1}{k'_2} \quad - 17$$

بالإستبدال للقيمة k_1 ، k'_2 من المعادلات (7 ، 12):

$$\tan \left[\frac{2\pi a}{h} (2m E)^{\frac{1}{2}} \right] = \frac{2\pi (2m E)^{\frac{1}{2}}}{h} \cdot \frac{h}{2\pi [2m(U - E)]^{\frac{1}{2}}}$$

$$\text{or} \quad \tan \left[\frac{2\pi a}{h} (2m E)^{\frac{1}{2}} \right] = - \frac{E^{\frac{1}{2}}}{(U - E)^{\frac{1}{2}}} \quad - 18$$

حيث الطاقة (E) تفي المعادلة (18) وربما تشتق بالرسم وذلك برسم الجانب الأيسر

من المعادلة للطاقة مقابل (E) ثم برسم الجانب الأيمن من المعادلة مقابل E.

وعليه فإن كلا الرسمين سيتقابلان عند نقطة (سيتقاطعان في نقطة) للنقطة (E)

حيث المعادلة (18) تفي بهذا الغرض. والمعادلة (18) ستعطي مماس، ولكن كلما تزداد (E)

فسوف يزداد الفراغ لرسم المماس، لأنها تصبح رسم لدالة المماس والتي تضمن الجذر

التربيعي للطاقة E. والجانب الأيمن من المعادلة (18) يعطي منحنى وهذا المنحنى يعطي قيمة

بصفر عندما (E) بصفر، ويميل بما لا نهاية سالبة كلما $U \rightarrow E$.

والرسم الخاص $U = 5 \times 10^{-20}$ ، $a = 10^{-10}$ m ، $m = 5 \times 10^{-27}$ kg ، قد يبين

في الشكل (4).

القيمة الوحيدة للطاقة (E) التي

تجيز لهم التقابل لنقاط التقاطع للمنحنى

في الشكل (4). وأنها إذا سوف تتحقق

عندما $E > U$ ، فإن الطاقة الإهتزازية

للنظام تصبح مكتمة.

ومن المهم جداً عند هذه النقطة

الإشارة إلى المعادلة (18) للحالة من

أين طاقة الوضع عند $x=0$ ترتفع إلى

ما لا نهاية: تحت هذه الظروف :-

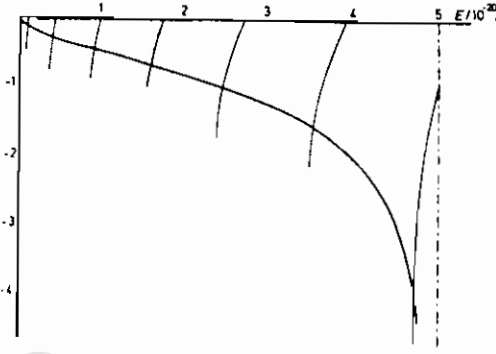


Fig. (4): Graphical solution of equation (18)

$$U = \infty \text{ and } \frac{E^{\frac{1}{2}}}{(U - E)^{\frac{1}{2}}} = 0$$

إذا الجانب الأيمن من المعادلة (18) يجب أيضاً مساوياً للصفر :-

$$\tan \left[\frac{2\pi a}{h} (2m E)^{\frac{1}{2}} \right] = 0 \quad - 19$$

وزاوية المماس بصفر عندما تكون الزاوية عدد صحيح مضروبة في π - الزاوية

نصف القطرية وإذا فإن ظروف المعادلة (19) تكون حقيقية، إذا

$$\frac{2\pi a}{h} (2m E)^{\frac{1}{2}} = n\pi \quad - 20$$

حيث (n) عبارة عن عدد صحيح والمعادلة 20 تؤول إلى :

$$\frac{4a^2}{h^2} \cdot 2m E = n^2$$

أو

$$E = \frac{n^2 h^2}{8ma^2}$$

حيث هذا التعبير يعطى الطاقة للجسيم في مكان ضيق لأحد المحاور للصندوق بحائط

ما لا نهاية في الإرتفاع (أنظر المعادلة 1).

وإنه من الضروري أن نعتبر الوضع عندما $E > U$ للمسألة المرسومة بالشكل (3).
 ودالة الموجة ψ_2 تعطى بالمعادلة 10 كما يلي :-

$$\psi_2 = C_2 e^{ikx} + D_2 e^{-ikx} \quad - 10$$

أو من ناحية شق الدالة المثلثية :-

$$\psi_2 = i(C_2 - D_2) \sin k_2 x + (C_2 + D_2) \cos k_2 x \quad -21$$

وباختيار قيمة مناسبة لبعض الثوابت، وبعض الزوايا، α . ومعامل المعادلة 21 ربما يعبر عنها كما يلي :

$$i(C_2 - D_2) = R \cos \alpha \text{ and } (C_2 + D_2) = R \sin \alpha$$

وربما تكتب المعادلة (18) على هذا الشكل :-

$$\psi_2 = R \sin k_2 x \cos \alpha + R \cos k_2 x \sin \alpha$$

$$\text{أو} \quad \psi_2 = R \sin (k_2 x + \alpha) \quad - 22$$

كما أن دالة الموجة ψ_1 ، يمكن تعيينها بالمعادلة (9) مثل :

$$\psi_1 = 2 i C_1 \sin k_1 x \quad - 9$$

وبتطبيق الظروف بمعنى أنه عند $x = a$ ستعطى :-

$$\psi_1 = \psi_2 \quad \text{and} \quad d\psi_1 / dx = d\psi_2 / dx$$

إذا : من المعادلة (9) والمعادلة (22) :

$$2 i C_1 \sin k_1 a = R \sin (k_2 a + \alpha) \quad - 23$$

$$2 i C_1 k_1 \cos k_1 a = R k_2 \cos (k_2 a + \alpha) \quad - 24$$

وبقسمة المعادلة (23) بالمعادلة (24) تنتج :-

$$\frac{1}{k_1} \tan k_1 a = \frac{1}{k_2} \tan (k_2 a + \alpha) \quad - 25$$

وربما لهذه المعادلة قد تلى أى قيمة من k_1 ، k_2 وذلك بعمل إختيارات تقريبية للحد α . ولنا أن نتذكر أن (α) تكون متعلقة على كل من C_2 ، D_2 حيث أنهما ثوابت محددة، وأنهما يمكن أن يأخذا أى قيمة ولهذا (α) يمكن أن تأخذ أى قيمة. بالنسبة لأى قيمة لكل من k_1 ، k_2 أى فمن الممكن أن تكيف القيمة لـ (α) ولهذا فإن المعادلة (25) تصبح مأهولة وممتثلة.

مثلاً k_1 ، k_2 تشمل طاقة النظام، والنتيجة السابقة تدل على أن (E) يمكن أن تأخذ أى قيمة. وعندما $E > U$ ، ولهذا يمكن (E) أن تأخذ قيمة بمدى مستمر، وطاقة النظام في تلك الحالة ليست مكتمة.

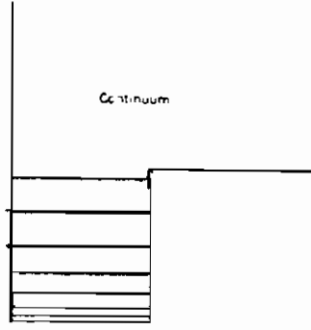


Fig. (5): Allowed energy level

وعلاقة الوضع ككل للشكل (5) وهو أنه عندما $E < U$ تكون مكتمة، وأن الطاقة يمكن أن تأخذ مدى من القيم المستمرة، كما هو موضح في الشكل 5 لقيم الرموز الآتية U ، a ، m المعينة مسبقاً.

معتبراً الشكل (5) كمنحنى تقريبي لمورس للجزيء ثنائي الذرة لشكل (2)، وأنها ستساهم في أن الطاقات الإهتزازية لجزيء ثنائي الذرة، حيث أنها أقل من طاقة التفكك وفي هذه الحالة تعتبر مكتمة.

الطاقة الإلكترونية لجزيء ثنائي الذرة :

The electronic energy of a diatomic molecule

قبل الإعتبار لجزيء ثنائي الذرة، فإتينا سوف ننتهز فرصة لإعتبار وهي كيف تكون طاقة الوضع لإلكترون في ذرة تمثل بنموذج بسيط. ففي أبسط الحالات للأيدروجين يعتمد على المسافة من النواه. ويكون مساوياً للشغل المبذول لترك الإلكترون لوضعه (مكاته) إلى ما لا نهاية. وطاقة الوضع V لأي جسيم يمكن إيجاده بواسطة التعبير التالي :-

$$\frac{dV}{dX} = - F \quad - 26$$

حيث (F) القوة المؤثرة على الجسيم. وإيجاد قيمة طاقة الوضع عند أى نقطة محددة، فالمعادلة (26) يجب تكاملها. وللحالة الموصوفة بعاليه، القوة المؤثرة على الإلكترون سوف تعطى بواسطة قانون كولوم، وكذلك بالنسبة للنواه ذات الشحنة $(+Ze)$ والشحنة الإلكترونية $(-e)$ كما يلي :-

$$F = - \frac{Ze^2}{4\pi\epsilon_0 X^2}$$

حيث (ϵ_0) معامل نفاذية الفراغ و (x) مسافة الإلكترون من النواة. وبالإستبدال في المعادلة (26) وبالتكامل نجد أن :-

$$V = \frac{Ze^2}{4\pi\epsilon_0 x^2} \cdot dX$$

أو

$$V = \frac{Ze^2}{4\pi\epsilon_0 x^2} + \text{constant}$$

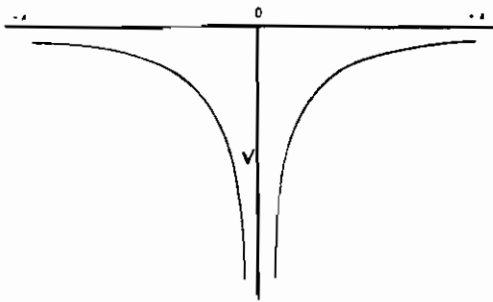
وقد بقيم ثابت التكامل كالتالي وذلك بوضع طاقة الوضع بصفر. وفي هذه الحالة فإننا نعتبر أن الإلكترون له طاقة وضع بصفر، عندما يكون عند ما لانهاية في المسافة، بعيداً جداً عن النواة. وهذا يعنى أن $V=0$ عند $x=\infty$. وبالتالي فإن ثابت التكامل بصفر، وأن:-

$$V = \frac{-Ze^2}{4\pi\epsilon_0 x^2} \quad - 27$$

وترينا المعادلة (27) أن تغير طاقة الوضع مع المسافة المحددة تأخذ شكل القطع الزائد كما هو مبين في الشكل (6) (hyperbola).

وعملية تكوين أيون جزئى الأيدروجين، يمكن إعتباره كما يوضع شىء بجانب آخر لنواتى نرتى الأيدروجين (H_2^+) حيث أنهما يشتركا فى إلكترون واحد وأما طاقة الوضع لكل نواه يمكن أن نراها فى الشكل (6) لإثنين من الأنوية متقاربين لبعضهما، وكل واحد يماثل دالة الوضع للآخر. والتكيف لدالة الوضع مع تقارب الأنوية قد يوضح فى الشكل (7).

ودالة الوضع الموجودة فى شكل (7)



يمكن أن تكون مقربة لدالة شكل الصندوق الموضح فى شكل (8)، حيث أن خارج الحائط قد يكون إعتبارياً للإرتفاع إلى ما لانهاية على سبيل التسهيل.

والشكل يبين ثلاث مناطق لتلك

المسألة، أولها، $-b < x < -a$ عندما $V=0$ ،

الثانية $-a < x < +a$ ، عندما $V=U$ ،

والثالثة $+a < x < +b$ حيث $V=0$.

Fig. (6): Potential energy of an electron in the hydrogen like atom

والدوال الوضعية لتلك المناطق الثلاثة سنرمز لهم بالرموز الآتية ψ_1 , ψ_2 , ψ_3 على التوالي. وهذه الدوال الثلاث يمكن التعبير عنهم كما يلي :-

$$\psi_1 = C_1 e^{ik_1x} + D_1 e^{-ik_1x} \quad - 28$$

$$k_1 = 2\pi (2\pi E)^{1/2} / h \quad - 29$$

$$\psi_2 = C_2 e^{ik_2x} + D_2 e^{-ik_2x} \quad - 30$$

$$k_2 = 2\pi [(2m (E - U)]^{1/2} / h \quad - 31$$

$$\psi_3 = C_3 e^{ik_3x} + D_3 e^{-ik_3x} \quad - 32$$

و ψ_1 يمكن تمثيلها على أنها دالة مثلثية كما يلي :-

$$\psi_1 = C_1 (\cos k_1 x + i \sin k_1 x) + D_1 (\cos k_1 x - i \sin k_1 x)$$

أو

$$\psi_1 = i (C_1 - D_1) \sin k_1 x + (C_1 + D_1) \cos k_1 x \quad - 33$$

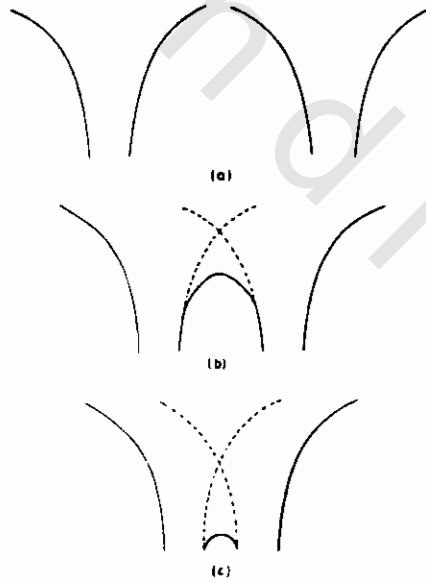


Fig. (7): Formation of the hydrogen molecule ion

والتقدير لكل من (A) (α) يمكن أن تختار كما يلي :

$$i(C_1 - D_1) = A \cos k_1 \alpha \text{ and } (C_1 + D_1) = A_1 \sin k_1 \alpha$$

بالإستبدال في المعادلة (33):

$$\psi_1 = A_1 \sin k_1 x \cos k_1 \alpha + A_1 \cos k_1 x \sin k_1 \alpha$$

or $\psi_1 = A_1 \sin k_1 (x + \alpha)$ - 34

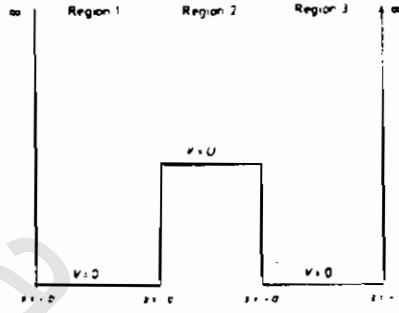


Fig. (8): Double well model

وطاقة الوضع عند $x = -b$ ترتفع إلى ما لا نهاية ولهذا فإن ψ_1 يجب أن تكون بصفر عند تلك النقطة. إذا قيمة (α) يجب أن تكون $+b$ والمعادلة (34) يمكن أن تكتب

$$\psi_1 = A_1 \sin k_1 (x + b)$$
 - 35

وبنفس الطريقة وبالمثل يمكن إتباع السبيل للدالة $\psi_3=0$ عند $x=+b$ ، ψ_1 يمكن إيجادها بواسطة

$$\psi_3 = A_3 \sin k_1 (x - b)$$
 - 36

فعند الحدود بين المناطق الثلاث، نجد أن دالة الموجه للمناطق عند كل جانب من الحدود متساوية، كما هو مبين لأول اشتقاق لدالة الموجه. إذا فعند $x=-a$ ، $\psi_1 = \psi_2$ وكذلك $d\psi_1/dx = d\psi_2/dx$. وبتطبيق هذه العوامل للمعادلة (35) والمعادلة (30) نحصل على :-

$$A_1 \sin k_1 (b - a) = C_2 e^{-ik_2 a} + D_2 e^{ik_2 a}$$
 - 37

$$\text{وكذلك} \quad A_1 k_1 \cos k_1 (b - a) = i k_2 (C_2 e^{-ik_2 a} - D_2 e^{ik_2 a}) \quad - 38$$

وعند $x=+a$, $\psi_2=\psi_3$ وكذلك $d\psi_2/dx = d\psi_3/dx$ وكذلك من المعادلة (30) والمعادلة (36) نجد أن :-

$$A_3 \sin k_1 (a - b) = C_2 e^{ik_2 a} - D_2 e^{-ik_2 a} \quad - 39$$

$$\text{وكذلك} \quad A_3 k_1 \cos k_1 (a - b) = i k_2 (C_2 e^{ik_2 a} - D_2 e^{-ik_2 a}) \quad - 40$$

بقسمة المعادلة (37) على المعادلة (39) نجد أن :-

$$-\frac{A_1}{A_3} = \frac{C_2 e^{-ik_2 a} + D_2 e^{ik_2 a}}{C_2 e^{ik_2 a} + D_2 e^{-ik_2 a}} \quad - 41$$

وبقسمة المعادلة (38) على المعادلة 40

$$\frac{A_1}{A_3} = \frac{C_2 e^{-ik_2 a} - D_2 e^{ik_2 a}}{C_2 e^{ik_2 a} - D_2 e^{-ik_2 a}} \quad - 42$$

ومن المعادلة (41) والمعادلة (42) نجد أن :-

$$\frac{C_2 e^{-ik_2 a} + D_2 e^{ik_2 a}}{C_2 e^{ik_2 a} + D_2 e^{-ik_2 a}} = \frac{-C_2 e^{-ik_2 a} + D_2 e^{ik_2 a}}{C_2 e^{ik_2 a} - D_2 e^{-ik_2 a}} \quad - 43$$

وعلى ذلك فإته يوجد علاقة بين C_2 , D_2 حيث أنهما بقيا بالمعادلة (43). وأن هؤلاء إما $C_2=D_2$ أو $C_2=-D_2$. وبوضع $C_2=D_2$ للمعادلة (41) فإنها تؤدي إلى $A_1=-A_3$ ، وأيضا بوضع $C_2=-D_2$ في المعادلة (41) فإننا نصل إلى $A_1=A_3$.

وعلى العموم يوجد مجموعتين لدالة الموجه وأول تلك المجموعات المتطابقات وهي

$$A_1=A_3, C_2=D_2 \text{، وتطبيق هذه النتائج (35, 30, 36) نحصل على :-}$$

$$\psi_1 = A_1 \sin k_1 (x + b) \quad - 44$$

$$\psi_2 = C_2 (e^{ik_2 x} + e^{-ik_2 x}) \quad - 45$$

$$\psi_3 = -A_1 \sin k_1 (x - b) \quad - 46$$

هذه المجموعة من المعادلات تعتبر غير متماثلة حول $x=0$ وهذا يعني أن قيمة ψ_1

للقيمة (x) بين $(-a)$ و $(-b)$ مساوية لقيمة ψ_3 لقيمة (x) لنفس المقدار x بين $(-a)$ و صفر

(.) وتكون هي نفس قيمتها للقيمة (x) لنفس المقدار بين $(0, +a)$.

والمجموعة الثانية لدالة الموجه التي تقابل $(C_2 = -D_2)$ و $A_1 = A_3$. بوضع هذه

النتيجة الى المعادلة (35)، (30)، (36) لتعطي :-

$$\psi_1 = A_1 \sin k_1 (x + b) \quad - 47$$

$$\psi_2 = C_2 (e^{ik_2x} - e^{-ik_2x}) \quad - 48$$

$$\psi_3 = A_1 \sin k_1 (x - b) \quad - 49$$

وهذه المجموعة من المعادلات تعتبر غير متماثلة حول المنطقة. مثلما أن نقول، أن

لقيم ψ_1 ، ψ_2 للقيمة السالبة (x) مساوية لسالب القيم ψ_3 ، ψ_2 للقيم الموجبة (x) لنفس المقدار.

فمن المناقشة السابقة نتطوع الى أن المنطقة تكون مركز التماثل في المسألة تحت المناقشة. وبالنسبة للدالة المتماثلة، التغير في المحاور من $(+x)$ وحتى $(-x)$ تاركة القيمة الدالة الثابتة. بينما نفس التغير يحدث للمحاور وذلك للدالة الغير متماثلة لتغير القيمة للدالة الى سالب لقيمتها الأصلية. وفي المسألة الحالية، حيث يوجد فقط من المحور وهو المطلوب، ولكن فمع مسألة الثلاث المحاور، حيث يوجد الثلاث أضلاع وهم (z, y, x) ويتغيروا الى $-z, -y, -x$ على التوالي. وهذه العملية تاركة دالة الموجه. ومثل تلك الدوال والتي تتغير متماثلة لمقلوب المحاور. دائماً نميز لها بالعلامة الموجبة. بينما دالة الموجه والتي هي غير متماثلة لمقلوب المحاور والمميزة بالعلامة بالسالب.

وللوصول لإيجاد الطاقة (E) للنظام فمن الضروري التعرف على k_1, k_2 . فمن سياق الكلام الحاضر، أنه فقط من المهم أن تعتبر الحالة حيث $E < U$ ، ولكن الدوال المتماثلة وغير المتماثلة سوف نتناولها فيما بعد على أفراد.

فبالنسبة لحل المعادلة المتماثلة فالمعادلات (44)، (45)، حيث العلاقة $(+)$ تبين

طبيعة التماثل للدالات :-

$$\psi_1^+ = A_1 \sin k_1 (x + b) \quad - 44$$

$$\psi_2^+ = C_2 (e^{ik_2x} + e^{-ik_2x}) \quad - 45$$

فعند $(E < U)$ ، فإن k_2 ستكون تخيلية و (ik_2) تعتبر حقيقية، ويوضح $ik_2 = k_2'$

حيث :-

$$k_2' = 2\pi [2m(U-E)]^{1/2} / h \quad - 50$$

والمعادلة (45) يمكن كتابتها كما يلي :-

$$\psi_2^+ = C_2 (e^{k_2 x} + e^{-k_2 x}) \quad - 51$$

فعد $\psi_1^+ = \psi_2^+$ ، $x = -a$ وكذلك $d\psi_1^+/dx = d\psi_2^+/dx$

إذا فمن المعادلة (44) والمعادلة (51).

$$A_1 \sin k_1 (b - a) = C_2 (e^{ik_2 a} + e^{-k_2 a}) \quad - 52$$

and $A_1 k_1 \cos k_1 (b - a) = C_2 k_2 i (e^{-k_2 a} - e^{k_2 a}) \quad - 53$

وبقسمة المعادلة (52) على المعادلة (53) تعطى :-

$$\frac{1}{k_2} \tan k_1 (b - a) = \frac{1}{k_2} \frac{e^{-k_2 a} + e^{k_2 a}}{e^{-k_2 a} - e^{k_2 a}} \quad - 54$$

ولنا أن نعيد الذاكرة من المرجع (1) أن :-

$$\coth \alpha = \frac{e^{\alpha} + e^{-\alpha}}{e^{\alpha} - e^{-\alpha}}$$

ولهذا المعادلة (54) يمكن كتابتها في الشكل :-

$$\tan k_1 (b - a) = \frac{k_1}{k_2} \coth (k_2 a) \quad - 55$$

وباستبدال k_1 ، k_2 من المعادلة 29 ، 50 :

$$\tan \left[\frac{2\pi(b-a)}{h} (2mE)^{\frac{1}{2}} \right] = - \frac{E^{\frac{1}{2}}}{(U-E)^{\frac{1}{2}}} \coth \left\{ \frac{2\pi a}{h} [2m(U-E)]^{\frac{1}{2}} \right\} \quad - 56$$

هذه المعادلة يمكن حلها بواسطة نفس الطريقة متما طبق على المعادلة (18) في الفصل السابق وكل جانب من المعادلة يمكن رسمه مقابل (E) وقيم E عند أي نقطة تقاطع تنفذ شروط المعادلة (56).

وبالنسبة للحل الغير متماثل فلنعتبر المعادلة (47) والمعادلة (48) حيث العلاقة السالبة (-) ستضع لتبين طبيعة غير التماثل.

$$\psi_1^- = A_1 \sin k_1 (x + b) \quad - 47$$

$$\psi_2^- = C_2 (e^{ik_2 x} - e^{-ik_2 x}) \quad - 48$$

مرة أخرى نعود مع $E < U$ ، k_2 تعتبر تخيلية والمعادلة (48) يجب أن تكتب كما

يلي:

$$A_1 \sin k_1 (b-a) = C_2 (e^{-k_2 x} - e^{k_2 x}) \quad - 58$$

$$\text{وكذلك } A_1 k_1 \cos k_1 (b-a) = C_2 k_2 (e^{-k_2 x} + e^{k_2 x}) \quad - 59$$

ويقسمة المعادلة (58) على المعادلة (59):

$$\frac{1}{k_1} \tan k_1 (b-a) = \frac{1}{k_2} \frac{e^{-k_2 a} - e^{k_2 a}}{e^{-k_2 a} + e^{k_2 a}} \quad - 60$$

والدالة الأسية على الجانب الأيمن من المعادلة، فباتك ترى ذلك أنها مقلوب لتلك

الموجودة في المعادلة (54) وأن :-

$$\tan k_1 (b-a) = \frac{k_1}{k_2} \tan h (k_2 a) \quad - 61$$

مرة أخرى لهذه المعادلة ربما تحل وذلك بواسطة رسم كل جانب مقابل (E) والمعادلات

56, 61 يكون حلها في هذا الطريق في الشكل (9)، حيث سنختار القيم b, a, m, U ، ولهذا

يوجد تماثلية واحدة وواحدة غير تماثلية لطاقة أسفل مستوى القيمة لـ (U). وأن هذا سوف

يقابل للنموذج المتقارب لأيون جزئى الأيونوجين. والمقابل للدوال الموجبة المتماثلة وغير

المتماثلة المرسومة في الشكل (10)، ومن هذا الشكل فباتنا نلاحظ أنه عند $x=0$ ، حيث أن تلك

النقطة هي منتصف بين نواة الذرة. ودالة الموجة المتماثلة لها قيمة محددة هنا.

بينما دالة الموجة الغير

متماثلة تساوى صفر. وقيمة الصفر

هنا تعنى أيضاً حاصل ضرب

$(\psi \bar{\psi})$ بصفر، حيث أنها تضمن

بوجود احتمالية الصفر لإيجاد

الإلكترون بين النواتين. فى هذه

الحالة، النواتين دائماً يحدث تنافر بين

كل منهما، ولهذا لا يوجد رباط

متكون. وفى هذه الحالة المحددة إذا،

فدالة الموجة غير متماثلة تؤدي إلى

وضع الغير متماثلة.

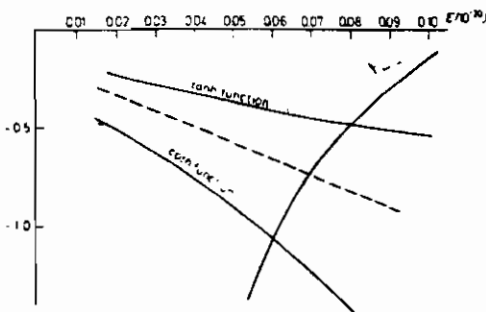


Fig. (9): Graphical solutions of equations 56, 61.

فمع دالة الموجه المتماثلة حيث يوجد احتمالية محددة لإيجاد الإلكترون بين النواتين والتي سوف تنتج تجاذب وبالتالي تعطى رباطو عليه فإن دالة الموجه المتماثلة ستؤدي إلى وضع الرباط.

وأيضاً من الواجب علاوة على ذلك أن نلاحظ من شكل (9) أن الطاقة للحالة المتماثلة، (E^+) تكون أقل من الحالة الغير متماثلة (E^-). وميزة هذه النقطة إحتمالها تكون أفضل مثلما فسرت بواسطة استخدام النموذج، كما فسرفى الشكل (8)، فمثلما التقريب لتكوين جزئى ثنائى الذرى من عدة ذرات إلكترونية. وفى هذه الحالة عمق الجهد سوف يكون أعمق وقد يلائم أكثر عن مستوى طاقة واحد.

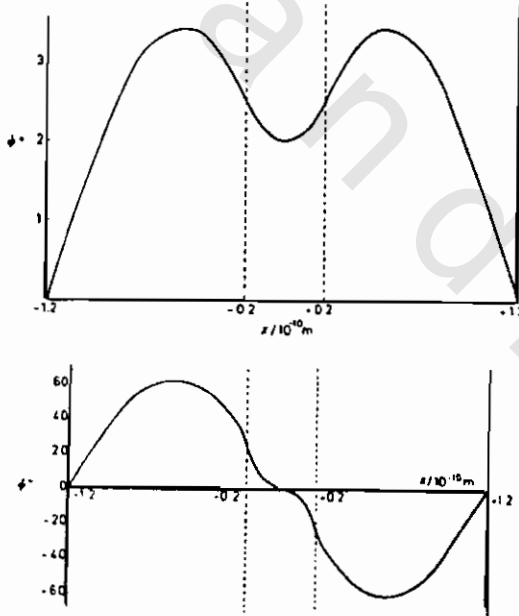
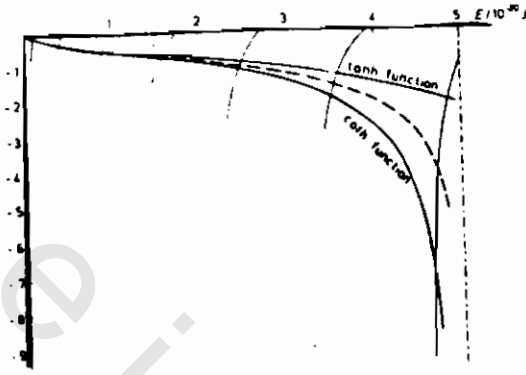


Fig. (10): Symmetric and anti symmetric wave functions for a double bond

ويورينا شكل (11) أنه برسم المعادلة (55)، والمعادلة (61) بالنسبة

$$(b - a) = 10^{-10} \text{ m}, a = 10^{11} \text{ m}, m = 5 \times 10^{-2} \text{ kg}, U = 5 \times 10^{-20} \text{ J}$$

فلنأخذ نلاحظ من الشكل أن



الفرق بين المتماثل والغير متماثل لمستوى الطاقة سوف يصبح أكثر كلما يقترب (E) من (U). ومن المهم أن نلاحظ أن التأثير على مستويات الطاقة لفصل نواة الذرة لنطاق وأفر. فصل واسع للنواة يقابله قيمة عظمى للمقدار (a) كما في الشكل (8) وتأثير ذلك على هذه المعادلة 55 والمعادلة 61.

Fig. (11): Graphical solution of equations 55 and 61

$$\tan k_1 (b - a) = \frac{k_1}{k_2} \coth (k_2 \cdot a) \quad - 55$$

$$\tan k_1 (b - a) = \frac{k_1}{k_2} \tanh (k_2 \cdot a) \quad - 61$$

متلما $a \rightarrow \infty$, $\coth (k_2 \cdot a) \rightarrow \tanh (k_2 \cdot a) \rightarrow 1$ ولهذا عند قيمة عظمى لـ

(a)، فكلتا المعادلتين (55) والمعادلة (61) تختصر إلى:

$$\tan k_1 (b - a) = \frac{-k_1}{k_2} \quad - 62$$

والرسم لتلك المعادلة سوف تراها كخط منقط في الشكل (11). والحل للمعادلة (62) المقابل لمستوى الطاقة في الذرة عندما يفصلا تماما والشكل (11) يرينا أن هذه المستويات تقع بين المقابل لمستويات التماثل وغير التماثل في الجزيء. وهذا يوضح أن الإلكترون في مستوى الرباط يفيد الأكثر ثباتاً عنه كما في الذرات المعزولة (المنفصلة).

فمثلاً الإلكترونات الداخلية في الذرة تعتبر محتلة الأقل لمستوى الطاقة شكل (11). حيث أيضاً يشرح أن الإلكترونات الداخلية تأثيرها يكون بسيط جداً بواسطة الربط مع ذرات

أخرى لتكوين جزيء e . وهذا يعني أنه من تلك الحقيقة أن مستوى الذرات المعزولة مستوى الجزيء المتماثل وغير المتماثل يعتبران في أقرب مكان ممكن وتكون الطاقة أقل مستوى.

وأنه فقط كلما قيمة الطاقة تقترب للمقدار (U) وهذا له معنى حدوث فرق في الانفصال، المتماثل وغير المتماثل، وأن هذا يمكن ملاحظته بوضوح في الشكل (12): ومن المعلوم أن الإلكترونات الخارجية للذرة تعتبر ذات طاقة أعلى حيث أنها تثبت بواسطة تكوين الجزيء كما أنها تتلحم في مستوى طاقة الرباط ذو الطاقة الأقل غير المستوى المقابل للذرات المنفصلة.

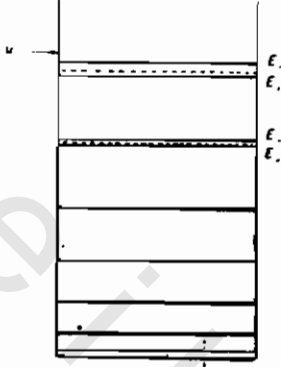


Fig. (12): Symmetric, anti symmetric and isolated energy levels